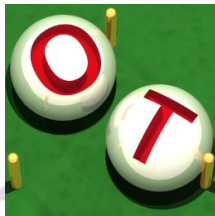


JU Open TURNS  
07/06/2011



Méta-modèles

Thierry YALAMAS



PHIMECA

PHIMECA



# Sommaire

---

- ▣ Les incertitudes
- ▣ Les surfaces de réponses
- ▣ Illustrations
- ▣ Conclusions

# Méthodologie générale

## Étape B

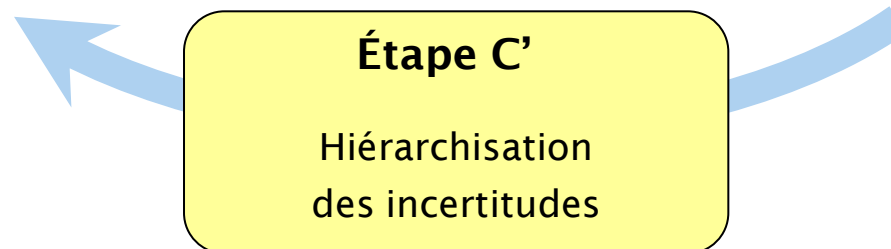
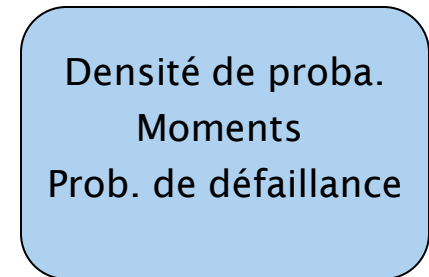
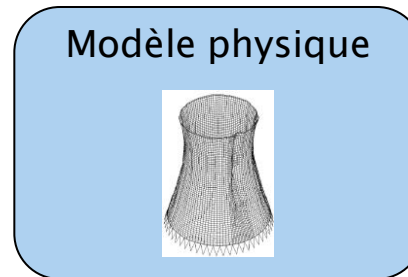
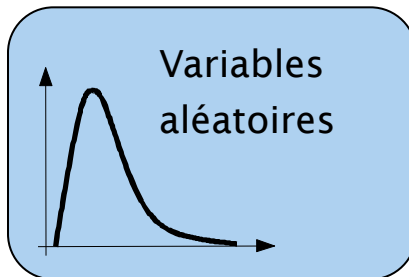
Quantification  
des sources d'incertitudes

## Étape A

Modèle(s)  
Critère(s)

## Étape C

Propagation  
des incertitudes



*Uncertainty in industrial practice - A guide to quantitative uncertainty management,*  
E. de Rocquigny, N. Devictor, S. Tarantola (Eds.), John Wiley, 2008

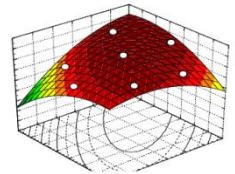
# Éléments d'une surface de réponse (1)

## ☐ La classe de modèle :

type de représentation mathématique de la surface de réponse

- **Modèles simples** : surface polynomiale (données d'entrée déterministes), chaos polynomial (données d'entrée aléatoires)

**Modèle le plus courant : Surface de Réponse Quadratique (SRQ), correspondant à une surface polynomiale d'ordre 2**



- **Modèles complexes** : krigeage, réseaux de neurone, SVR

## ☐ L'algorithme de calcul :

pour identifier les paramètres du méta-modèle à partir des points d'apprentissage de la surface de réponse

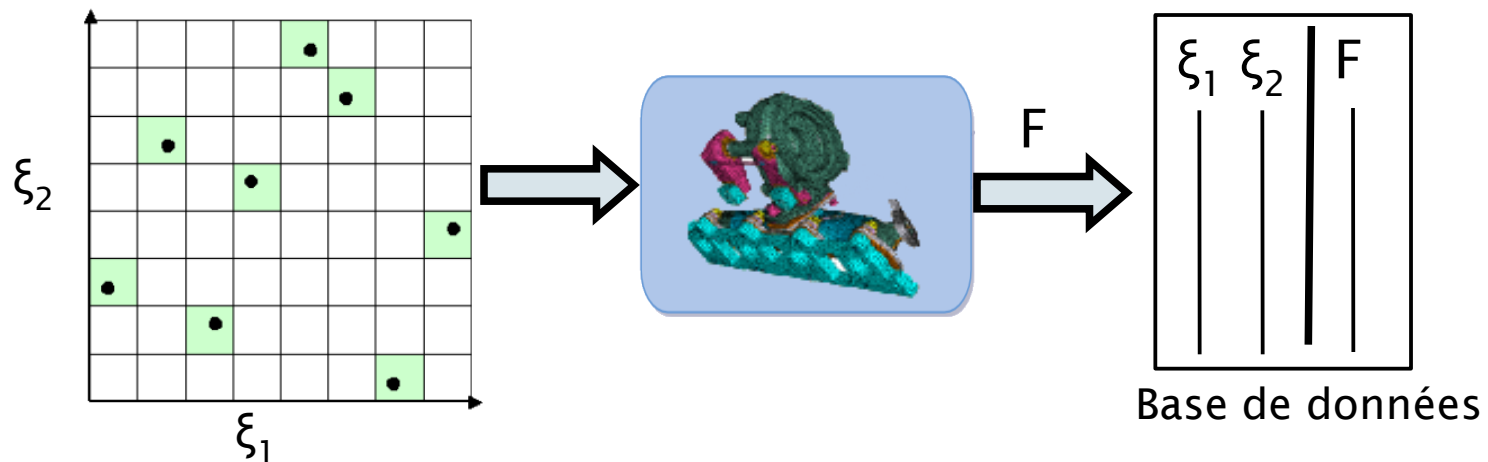
- Régression, projection
- Apprentissage
- ...

# Éléments d'une surface de réponse (2)

## Le plan d'expérience

- **Plans spécifiques** au choix du modèle
- **Plans génériques** (utilisables avec plusieurs modèles différents)

Le plan d'expérience a pour but de sélectionner les **points les plus adaptés** à la construction du méta-modèle

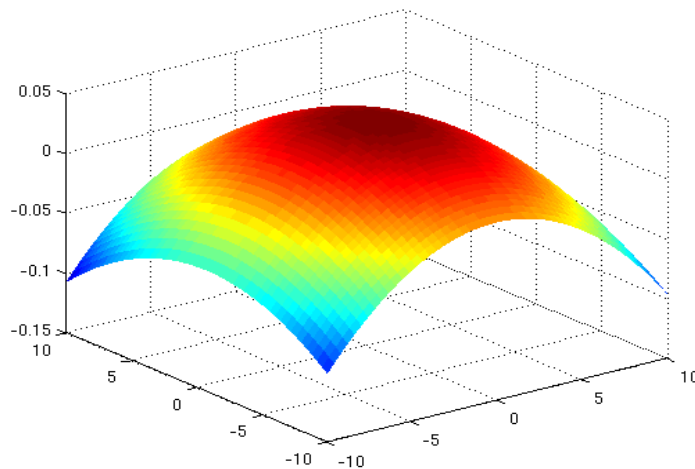
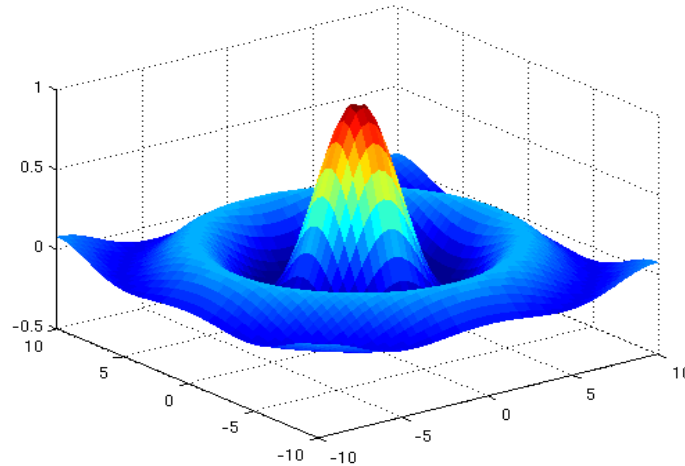


La taille du plan d'expérience est à l'origine du **coût de calcul**  
Il est donc à choisir avec soin

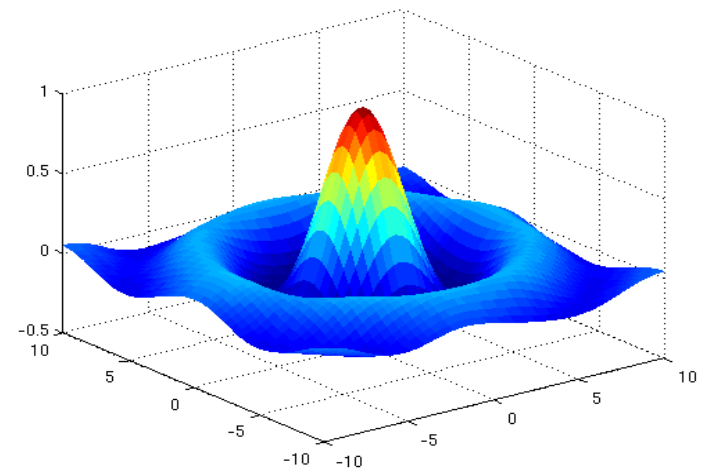
# Exemples : données déterministes

## Illustration :

Fonction sinus  
cardinal (sinc)



Régression polynomiale de  
degré 2



Régression SVM

# Sommaire

---

- ☐ Les incertitudes
- ☐ Les surfaces de réponses
  - ☐ Régression SVM
- ☐ Illustrations
- ☐ Conclusions

# Introduction aux SVM (1)

## ☐ Un problème de classification linéaire :

- Un ensemble de données étiquetées  $X_i, i=1 \dots n$  définies dans un domaine  $D$
- On suppose 2 classes :  $C_i \in \{+1; -1\}$
- Exemple en fiabilité des structures :
  - +1 : la classe sûreté,
  - -1 : la classe défaillance
- Objectif : trouver un hyperplan qui classe « le mieux possible » l'ensemble des données
- On cherche donc un séparateur des classes...



# Introduction aux SVM (2)

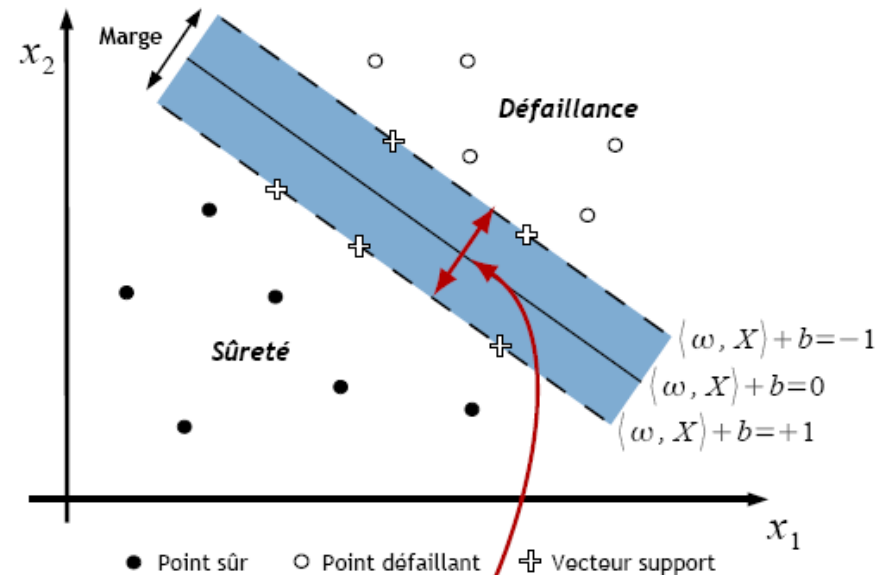
## ☐ Un problème de classification linéaire :

- On cherche un hyperplan de la forme :

$$G(X) = \langle \omega, X \rangle + b$$

Vecteur de paramètres :  
normal à  
l'hyperplan

Seuil



- Comment obtenir le meilleur séparateur ?

**Il faut maximiser la marge**

Le séparateur est défini uniquement à partir des réalisations sur la marge : **les points ou vecteurs supports**

# Introduction aux SVM (3)

## Le problème d'optimisation :

- Maximiser la marge correspond à la minimisation de la norme de  $\omega$ , le problème d'optimisation s'écrivant :

$$\begin{cases} \min \frac{1}{2} \|\omega\|^2 \\ \text{sous } c_i (\langle \omega, X_i \rangle + b \geq 1) \end{cases} \quad i = 1, \dots, n$$

➔ contraintes de bonne classification

- Formulation de Lagrange : ➔ fonction quadratique convexe

$$L(\omega, b, \alpha) = \frac{\|\omega\|^2}{2} - \sum_{i=1}^n \alpha_i [c_i (\langle \omega, X_i \rangle + b) - 1]$$

- Conditions d'optimalités de Karush - Kuhn - Tucker :

$$\frac{\partial L(\omega, b, \alpha)}{\partial b} = 0 = \sum_{i=1}^n \alpha_i c_i$$

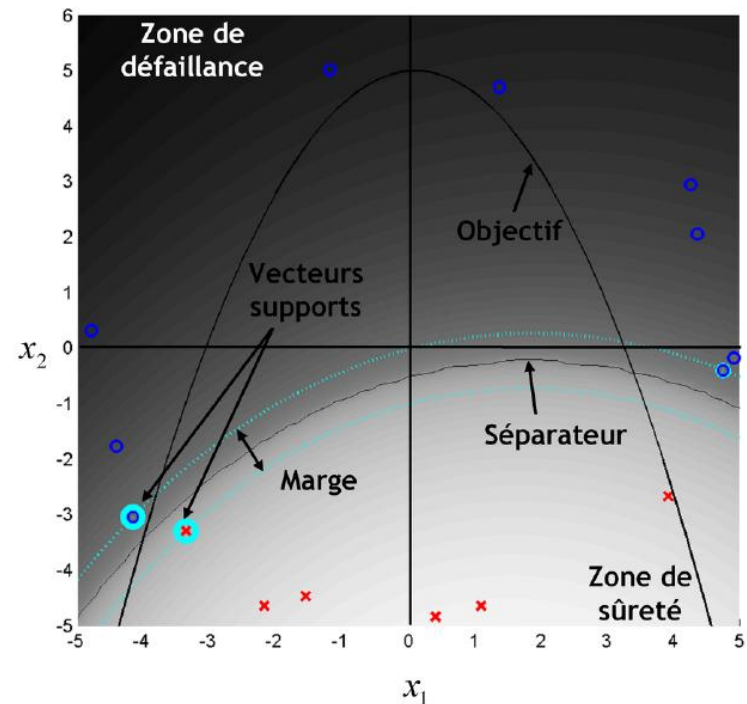
$$\frac{\partial L(\omega, b, \alpha)}{\partial \omega} = 0 = \omega - \sum_{i=1}^n \alpha_i c_i X_i$$

# Introduction aux SVM (4)

## Le problème d'optimisation :

- Les  $\alpha_i$  non nuls correspondent aux réalisations sur la marge, elles sont nommées les vecteurs supports
- Le séparateur peut être uniquement défini à partir de ces réalisations, où  $S$  est le nombre de vecteurs supports

$$\omega^* = \sum_{i=1}^S \alpha_i c_i X_i$$
$$b^* = -\frac{1}{2} \langle \omega^*, X_{+1} + X_{-1} \rangle$$

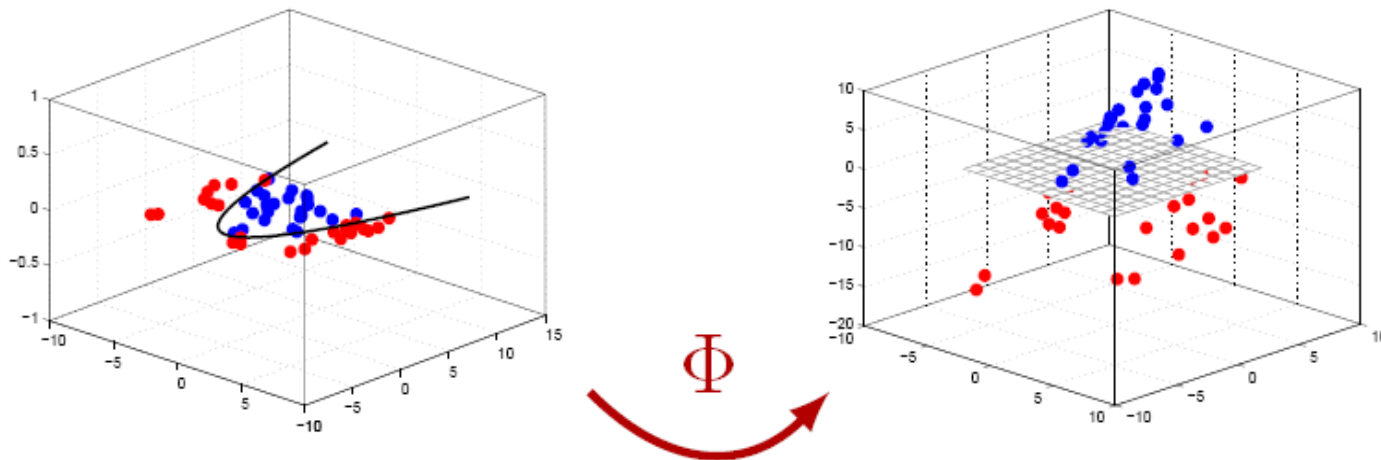


➡ Pour affiner la séparation, seules les réalisations dans la marge sont utiles, les autres peuvent être classées sans calcul à partir de la connaissance du séparateur

# Introduction aux SVM (5)

## ☐ Le passage au non-linéaire :

- On se ramène au cas linéairement séparable présenté précédemment par une transformation de l'espace :



- Un projecteur non linéaire  $\Phi$  transforme l'espace de départ vers un espace de dimension supérieure : *feature space*

→ **The Kernel Trick**

Le produit scalaire est remplacé par une fonction noyau  $K$  plus générale

$$K(X_1, X_2) = \langle \Phi(X_1), \Phi(X_2) \rangle$$

# Sommaire

---

- ☐ Les incertitudes
- ☐ Les surfaces de réponses
  - ☐ Interpolation par Krigeage
- ☐ Illustrations
- ☐ Conclusion




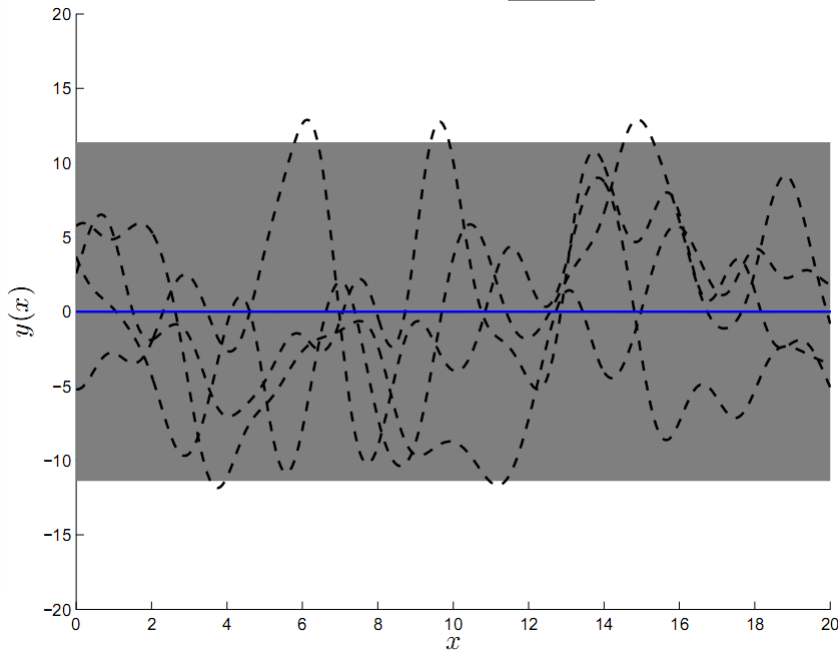
# La théorie de Krige & Matheron

## Le meilleur prédicteur linéaire sans biais de $Y(\mathbf{x})$

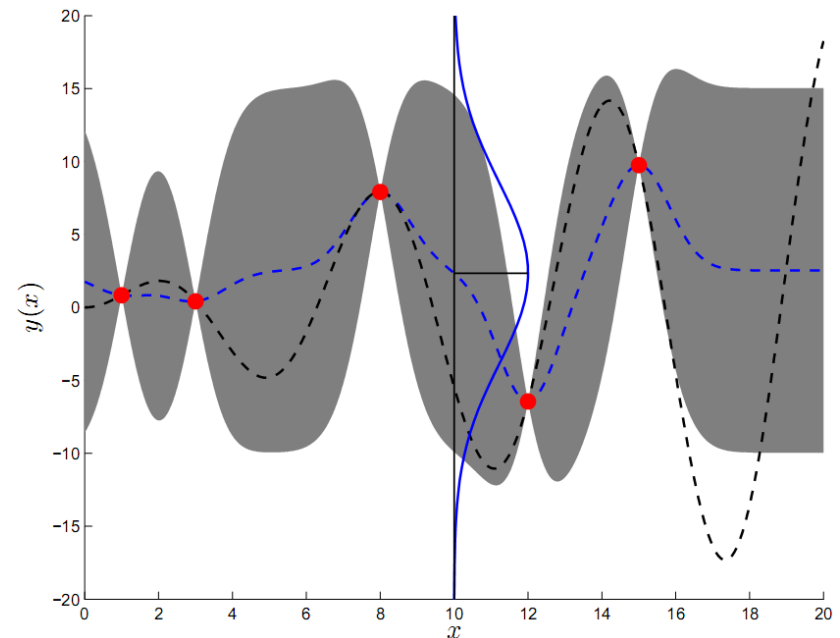
- D'où le résultat final

$$\begin{cases} \hat{Y}(\mathbf{x}) = \mu(\mathbf{x}) + \mathbf{r}(\mathbf{x})^t [\mathbf{R}_{YY}]^{-1} (\mathbf{Y} - \mu_Y) & \text{(le BLUP « moyen »)} \\ MSE(\mathbf{x}) = \sigma^2 \left( 1 - \mathbf{r}(\mathbf{x})^t [\mathbf{R}_{YY}]^{-1} \mathbf{r}(\mathbf{x}) \right) & \text{(la « variance de krigeage »)} \end{cases}$$

- Illustration (  IC à 95%, fonction réelle :  $y(x) = x \sin(x)$  )



*a priori* ( $\mathbf{Y}$  aléatoire)



*a posteriori* ( $\mathbf{Y} = \mathbf{y}$  observés)

# La théorie de Krige & Matheron

## ☐ Détermination des paramètres

- On ne connaît pas les moments du processus  $Y(\mathbf{x})$ , on va donc les modéliser :
  - La *moyenne* est choisie parmi une classe de *modèle de régression* :

$$\boxed{\mu(\mathbf{x}) = \mathbf{f}(\mathbf{x})^t \boldsymbol{\beta}} \quad \text{e.g. } \mathbf{f}_{\text{poly}}(\mathbf{x}) = \langle 1 \quad x \quad x^2 \rangle^t$$

- L'*autocorrélation* est également choisie dans une *classe paramétrée connue* :

$$\boxed{C(\mathbf{x}, \mathbf{x}') = \sigma^2 \mathbf{R}_\theta(\mathbf{x} - \mathbf{x}')}$$

- Sous ses hypothèses additionnelles, le BLUP « moyen » s'écrit :

$$\hat{Y}(\mathbf{x}) = \mathbf{f}(\mathbf{x})^t \boldsymbol{\beta} + \mathbf{r}_\theta(\mathbf{x}) [\mathbf{R}_\theta]^{-1} (\mathbf{Y} - [\mathbf{F}] \boldsymbol{\beta})$$

$$F_{ij} = f_j(\mathbf{s}_i), \quad i = 1, \dots, m \quad j = 1, \dots, p$$

- Et le vecteur des observations est ainsi entièrement paramétré :

$$\mathbf{Y} \sim \mathcal{N}([\mathbf{F}] \boldsymbol{\beta}, \sigma^2 [\mathbf{R}_\theta])$$

- On peut donc estimer les paramètres *optimaux* recherchés  $\boldsymbol{\beta}^*$ ,  $\sigma^{2*}$ ,  $\boldsymbol{\theta}^*$  par les méthodes d'inférence paramétriques usuelles à partir du *vecteur des observations constatées*  $\mathbf{y}$ .

Pratique la plus courante : le *Maximum de Vraisemblance*



# Sommaire

---

- ▣ Les incertitudes
- ▣ Les surfaces de réponses
- ▣ Illustration (Projet ANR Kidpocket)**
- ▣ Conclusions

# Objectifs

## Utilisation de méta-modèles

- Études des moments statistiques
- Études de quantiles particuliers

## Comparaison de méta-modèles

- Régression par SVM (*Support Vector Machine*)
- Interpolation par la méthode du Krigage
- Chaos polynomial adaptatif

# Les données d'entrée

## Issues d'un code de calcul électromagnétique

Les données analysées sont des valeurs de SAR (Specific Absorption Rate)

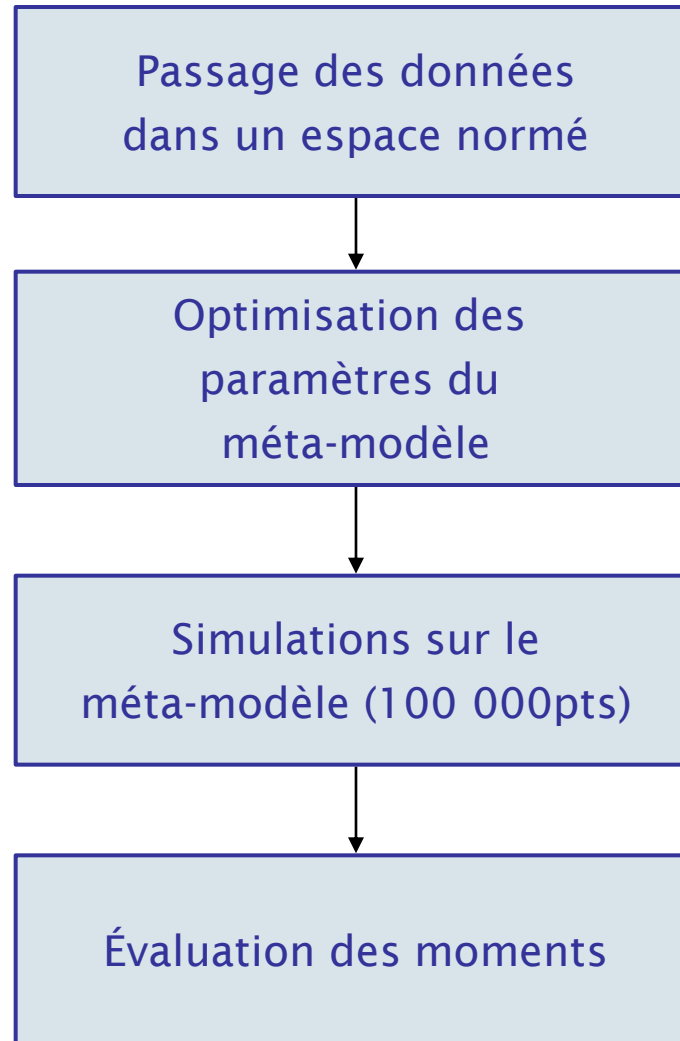
## Caractéristiques des données

- A) Une Bases de données 27 points générées par un schéma de quadrature
- B) Une base de données de 25 points générées par un plan d'expérience aléatoire de type carré Latin
- Dimension de l'espace : 3 variables aléatoires dépendantes

$$R = \begin{bmatrix} 1 & 0,33 & 0,25 \\ 0,33 & 1 & 0,69 \\ 0,25 & 0,69 & 1 \end{bmatrix}$$

- Les données sont traitées dans l'espace standard (gaussien centré et normé)

# Méthodologie



# Les outils

☐ Tous les résultats ont été obtenus sous Matlab/python à l'aide d'outils internes

☐ Les *toolbox*

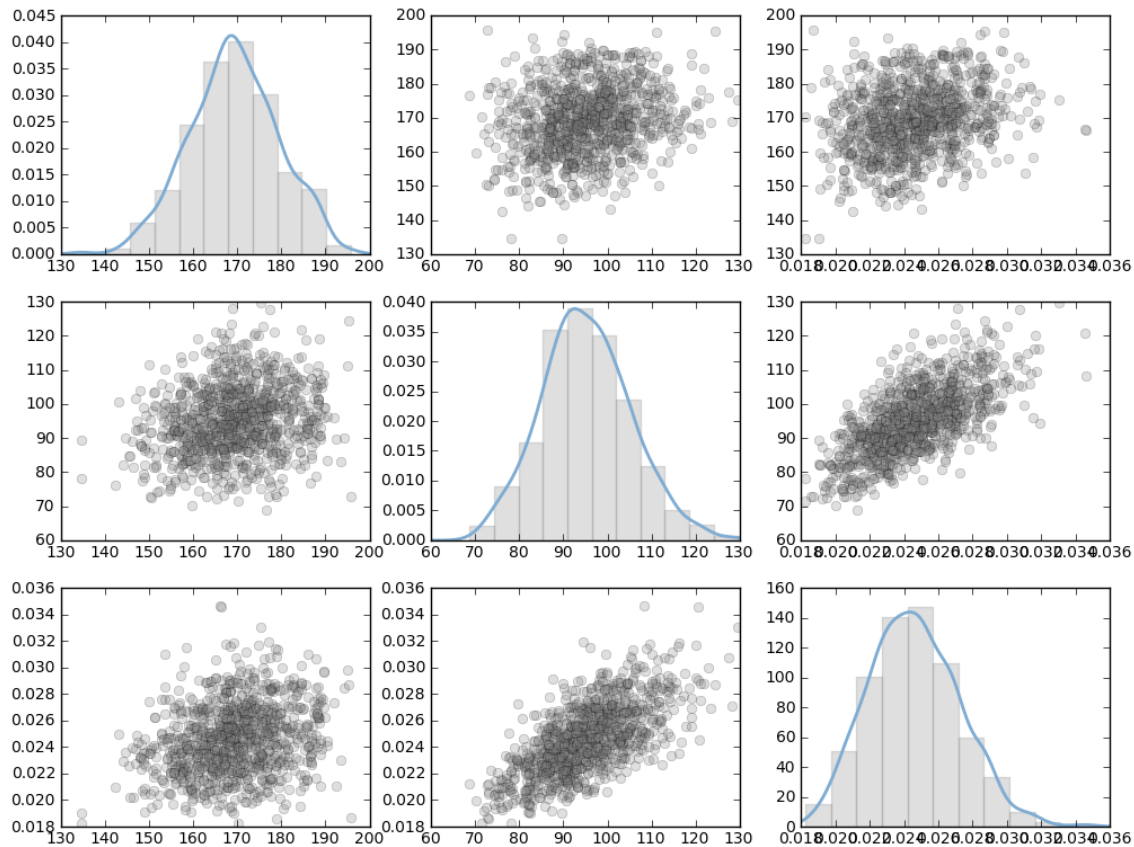
- Support Vector regression (SVR) : SpiderSVM, interface Matlab pour LibSVM
- Krigeage : DACE
- Chaos adaptatif (gPC) : développements internes

# Simulation des données

Taille

Carrure devant

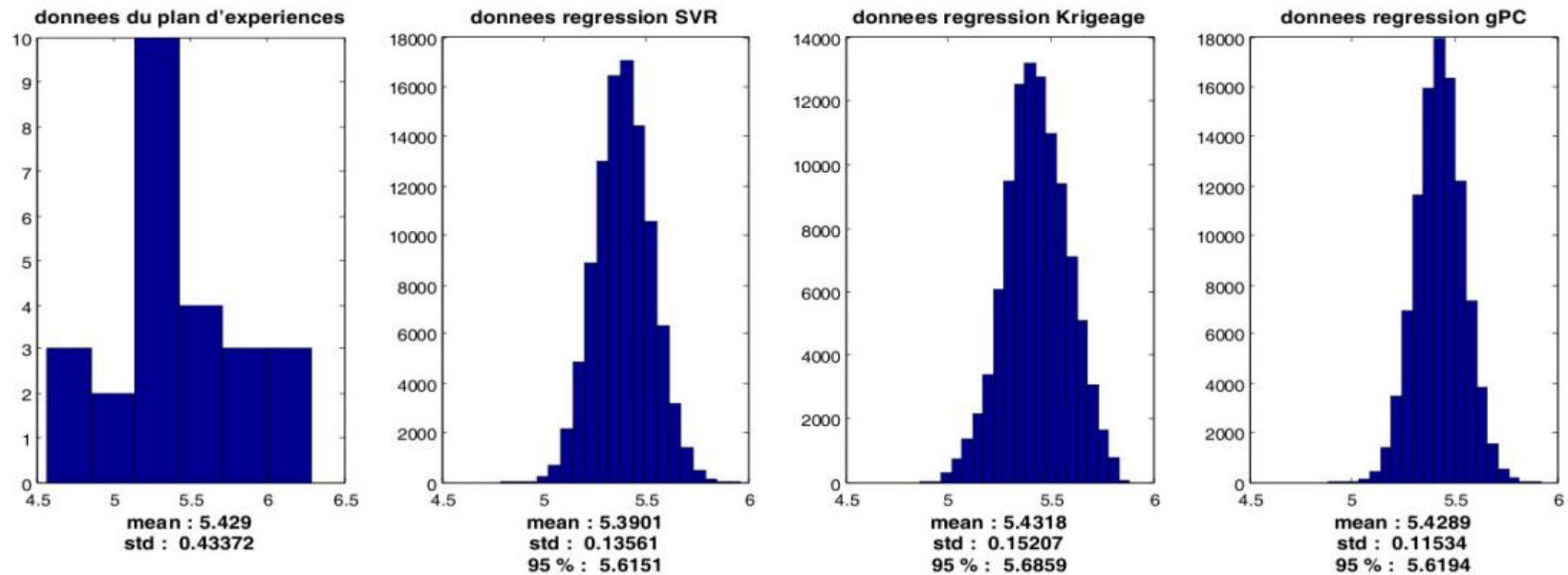
Tr de poitrine



Population générée pour l'évaluation des moments

# Résultats – base schéma de quadrature

## Comparaisons des histogrammes

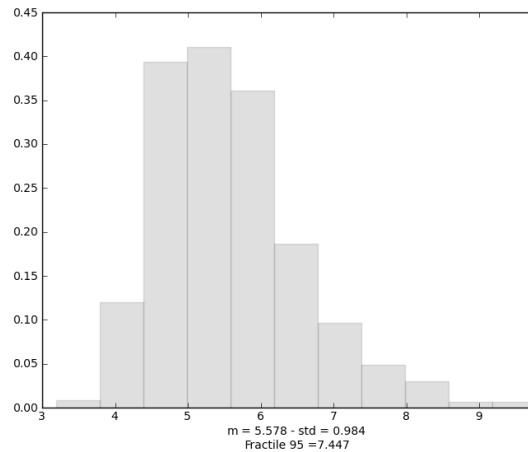


Note : les moments sont évalués sur 100 000 simulations de Monte-Carlo

# Résultats – base LHS

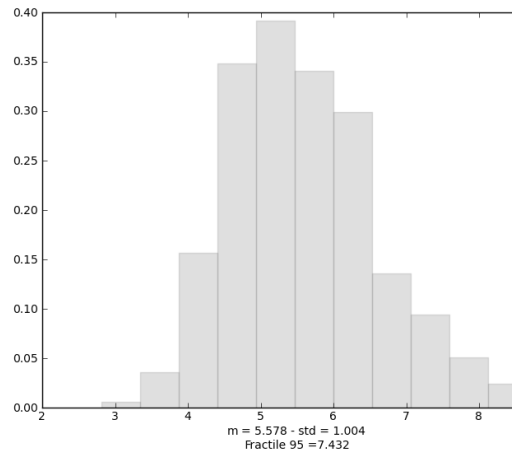
## Comparaisons des histogrammes

Chaos



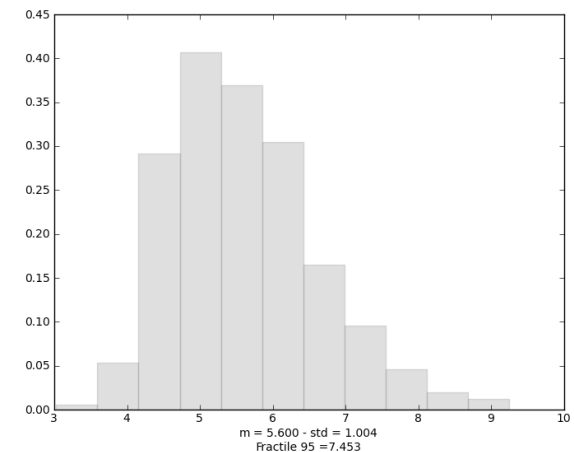
m = 5.578  
 $\sigma$  = 0.984  
95% = 7.447

Krigeage



m = 5.578  
 $\sigma$  = 1.004  
95% = 7.432

SVR

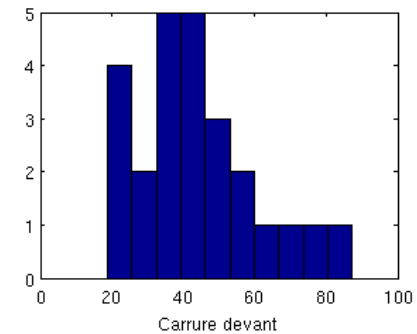
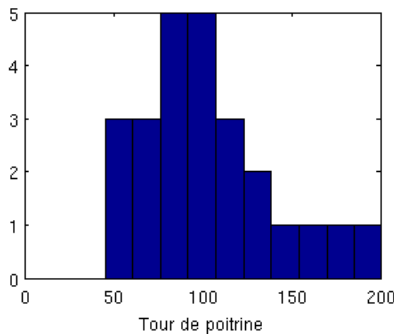
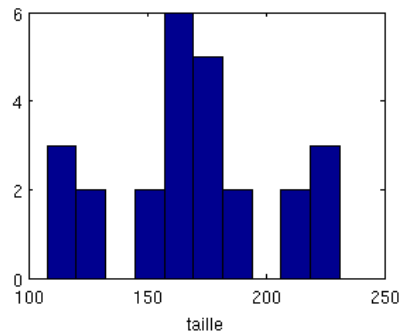
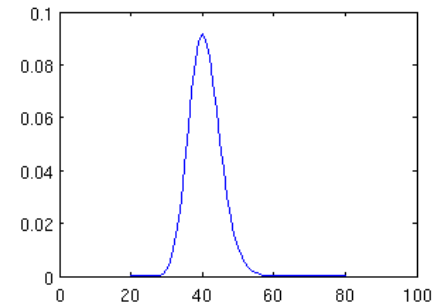
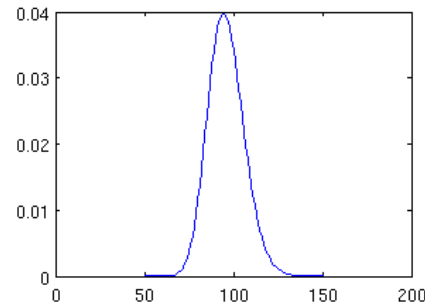
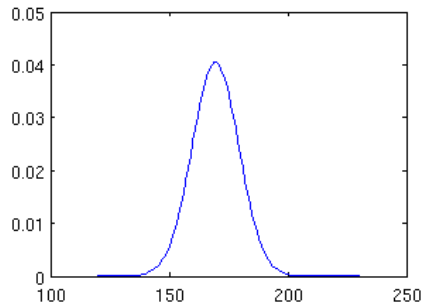


m = 5.600  
 $\sigma$  = 1.004  
95% = 7.453

Note : les moments sont évalués sur 100 000 simulations de Monte-Carlo

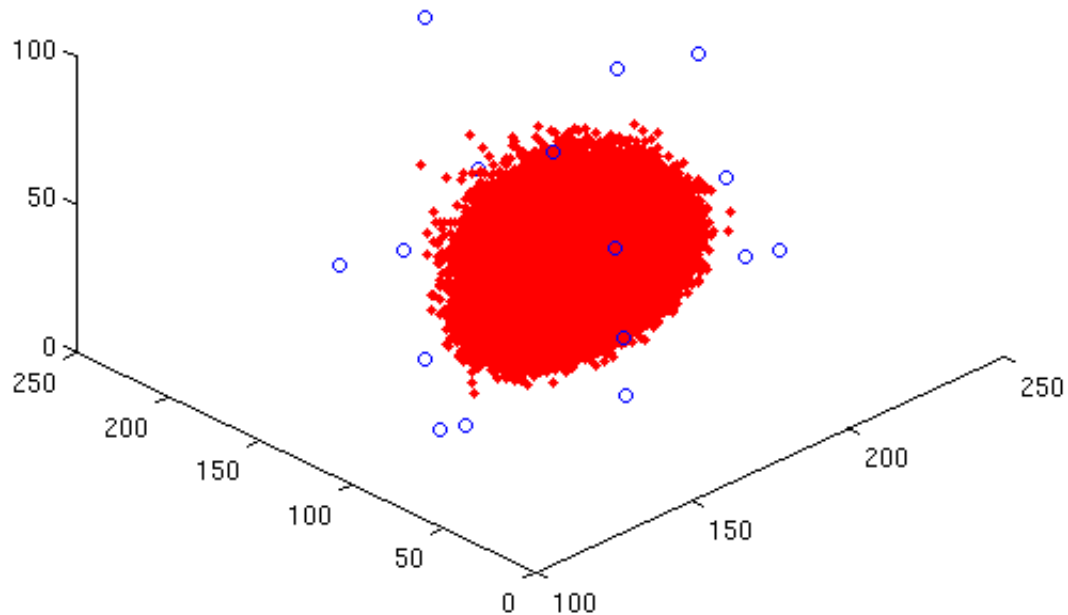


# Explications



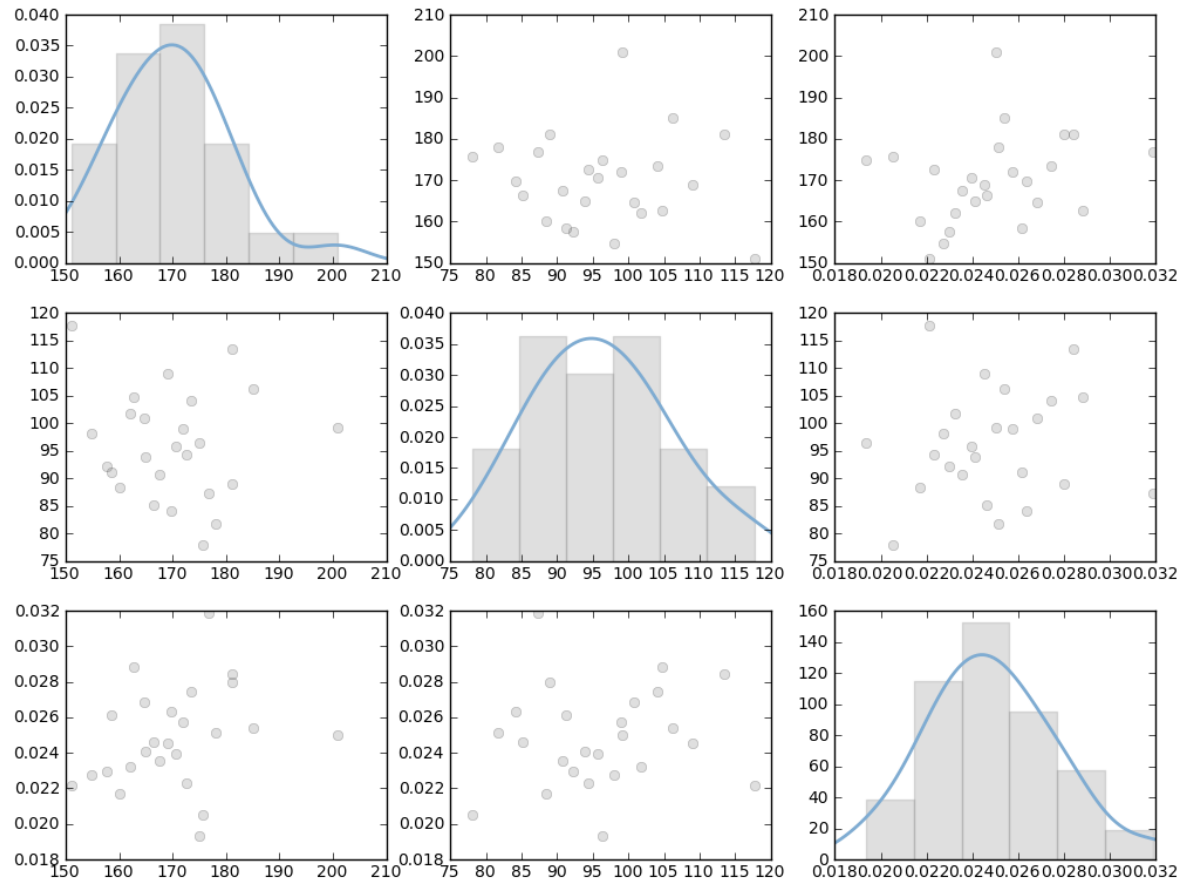
Répartition des expériences numériques du schéma de quadrature

# Explications



Répartition des expériences numériques du schéma de quadrature (en bleu)  
et points d'évaluation pour les moments (en rouge)

# Explications



Répartition des expériences numériques du plan LHS

# Sommaire

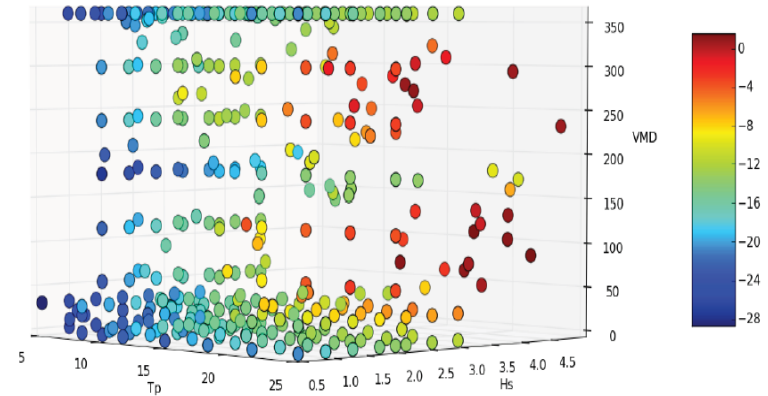
---

- ▣ Les incertitudes
- ▣ Les surfaces de réponses
- ▣ Illustration sur une application industrielle**
- ▣ Conclusions

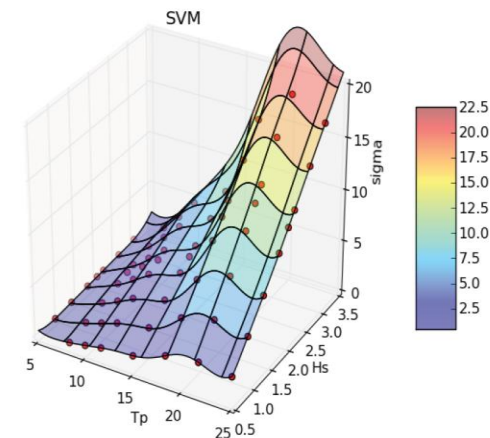
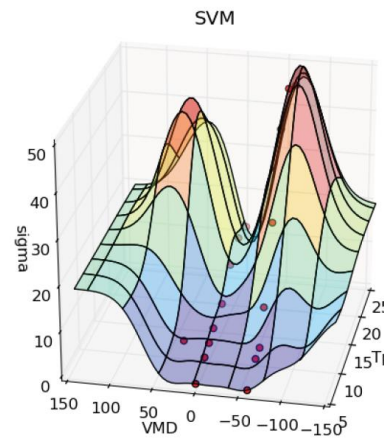
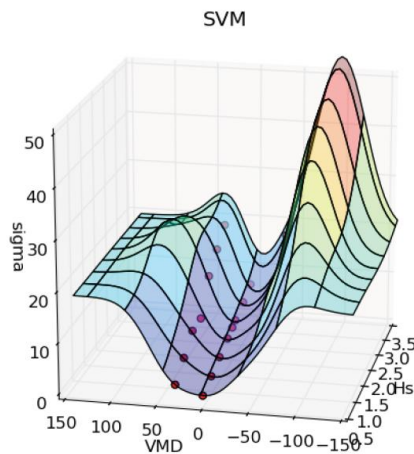
# Elaboration du Méta-modèle

Plan d'expérience:

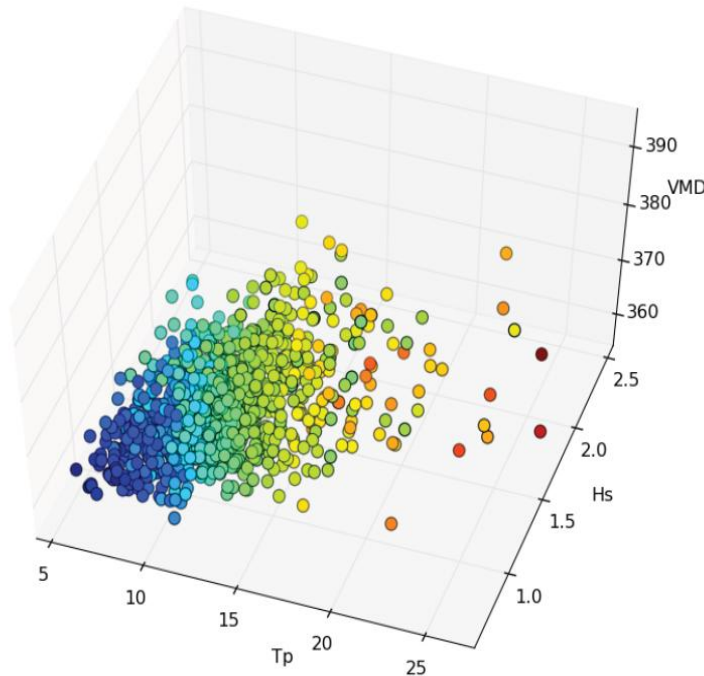
- LHS
- Complet sur 2 facteurs



Résultats de la régression:



# Résultats de l'analyse fiabiliste



Modèle	$\log(D)$	$\Delta S$
Krigeage	61 ans (0.85)	249 ans (0.82)
SVR	76 ans (0.95)	211 ans (0.95)

**Résultats de la simulation de Monte-Carlo**  
- avec le méta-modèle  
- suivant les distributions inférées

# Conclusions

- ☐ La validité d'un méta-modèle dépend de celle du plan d'expérience (par rapport à une information recherchée)
- ☐ Le choix d'un type de méta-modèle dépend de la « physique » du phénomène représenté... dans la plage considérée